

ATITVARŲ ILGINIŲ ŠILUMINIŲ TILTELIŲ SKAIČIUOJAMŲJŲ ŠILUMOS PERDAVIMO KOEFICIENTŲ VERTĖS

1. Jeigu ilginių šiluminių tiltelių konstrukcinis sprendimas nežinomas, skaičiavimuose turi būti naudojamos 6.1 lentelėje nurodytos ilginių šiluminių tiltelių skaičiuojamosios šilumos perdavimo koeficiento Ψ ($W/(m \cdot K)$) vertės.

6.1 lentelė

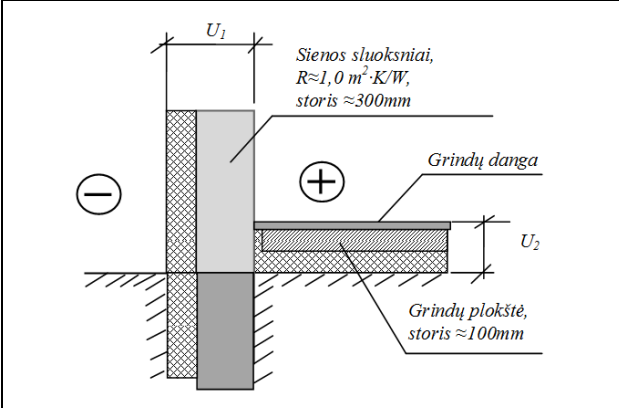
Ilginių šiluminių tiltelių skaičiuojamosios šilumos perdavimo koeficiento Ψ vertės ($W/(m \cdot K)$)

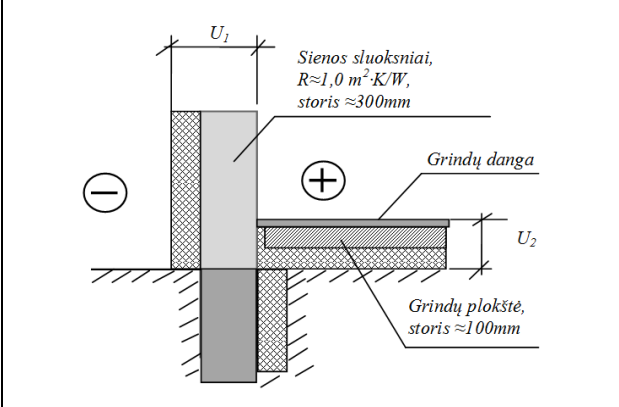
Eil. Nr.	Ilginio šiluminio tiltelio apibūdinimas	Ψ , $W/(m \cdot K)$
1.	Pastato pamatų ir sienos sandūra. Betoninės grindys ar perdanga. Pamatų ir sienos termoizoliaciniai sluoksniai susisiečia	0,05
2.	Pastato pamatų ir sienos sandūra. Betoninės grindys ar perdanga. Pamatų ir sienos termoizoliaciniai sluoksniai nesusisiečia	0,1
3.	Pastato pamatų ir sienos sandūra. Betoninės grindys ar perdanga. Pamatai ir (ar) sienos neapšiltinti	0,2
4.	Pastato pamatų ir sienos sandūra. Medinės grindys ar perdanga	0
5.	Stogo ir sienos sandūra. Stogo ir sienos termoizoliaciniai sluoksniai susisiečia. Išorinis kampas	0
6.	Stogo ir sienos sandūra. Stogo ir sienos termoizoliaciniai sluoksniai susisiečia. Vidinis kampas	0,1
7.	Stogo ir sienos sandūra. Stogo ir sienos termoizoliaciniai sluoksniai nesusisiečia	0,2
8.	Stogo ir sienos sandūra. Stogas ir (ar) siena neapšiltinti	0,3
9.	Tarp lango, stoglangio, švieslangio, kitos skaidrios atitvaros, durų rėmo ir termoizoliacinio sluoksnio sienoje	0,05
10.	Tarp lango, stoglangio, švieslangio, kitos skaidrios atitvaros, durų rėmo ir plytų ar blokelių mūro	0,2
11.	Tarp lango, stoglangio, švieslangio, kitos skaidrios atitvaros, durų rėmo ir apšiltintos gelžbetoninės sąramos ar apšiltinto betoninio pamato	0,2
12.	Tarp lango, stoglangio, švieslangio, kitos skaidrios atitvaros, durų rėmo ir neapšiltintos gelžbetoninės sąramos ar neapšiltinto betoninio pamato	0,3
13.	Balkonų grindų ir sienos sandūra. Grindų gelžbetoninė plokštė kerta išorinę sieną. Grindų gelžbetoninė plokštė neapšiltinta arba apšiltinta ne iš visų pusių	0,4
14.	Balkonų grindų ir sienos sandūra. Grindų gelžbetoninė plokštė kerta išorinę sieną. Grindų gelžbetoninė plokštė apšiltinta iš visų pusių	0,2
15.	Balkonų grindų ir sienos sandūra. Medinė balkono grindų konstrukcija	0
16.	Su išore besiribojančios perdangos ir sienos sandūra. Gelžbetoninės perdangos ir sienos termoizoliaciniai sluoksniai susisiečia. Išorinis kampas	0
17.	Su išore besiribojančios perdangos ir sienos sandūra. Gelžbetoninės perdangos ir sienos termoizoliaciniai sluoksniai susisiečia. Vidinis kampas	0,1
18.	Su išore besiribojančios perdangos ir sienos sandūra. Gelžbetoninės perdangos ir sienos termoizoliaciniai sluoksniai nesusisiečia	0,3
19.	Su išore besiribojančios perdangos ir sienos sandūra. Medinė perdanga	0

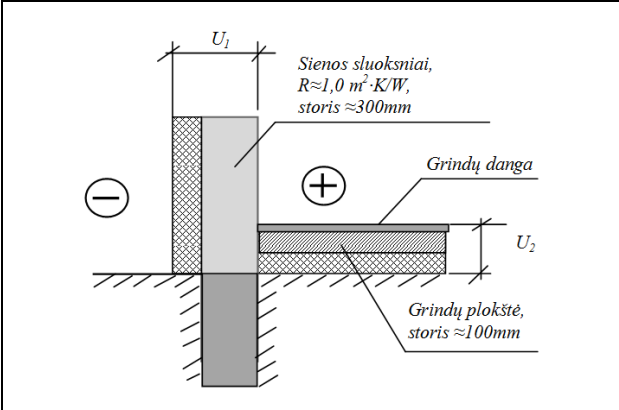
Eil. Nr.	Ilginio šiluminio tiltelio apibūdinimas	Ψ , W/(m·K)
20.	Sienos išorinis kampas	-0,1
21.	Sienos vidinis kampas. Siena apšiltinta iš išorės	0,05
22.	Sienos vidinis kampas. Siena apšiltinta iš vidaus	0,1
23.	Sienos vidinis kampas. Termoizoliacinis sluoksnis sienos viduryje	0,1
24.	Sienos vidinis kampas. Termoizoliacinio sluoksnio nėra	0,3

2. Jeigu ilginio šiluminio tiltelio konstrukcinis sprendimas žinomas ir atitinka kažkurią iš žemiau 2.1-2.6 punktuose pateiktą tiltelio schemą, ilginio šiluminio tiltelio šilumos perdavimo koeficiento vertė gali būti nustatyta iš šios schemos duomenų, tame tarpe interpoliuojant tarp šioje shemoje pateiktų šilumos perdavimo koeficiento verčių.

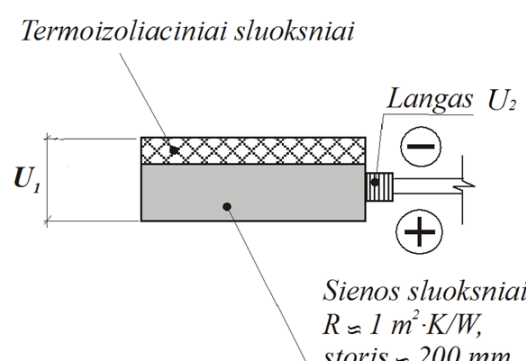
2.1. Ilginių šiluminių tiltelių tarp pastato pamatų ir išorinių sienų šilumos perdavimo koeficientų Ψ_{f-w} (W/(m·K)) vertės:

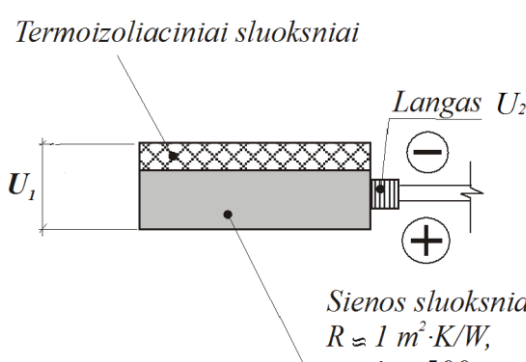
	2.1.1 schema			
	U, W/(m²·K)	U ₂ =0,10	U ₂ =0,25	U ₂ =0,50
U ₁ =0,10	$\Psi = 0,05$	$\Psi = -0,10$	$\Psi = -0,75$	
U ₁ =0,20	$\Psi = 0,02$	$\Psi = -0,09$	$\Psi = -0,69$	
U ₁ =0,50	$\Psi = -0,08$	$\Psi = -0,10$	$\Psi = -0,67$	

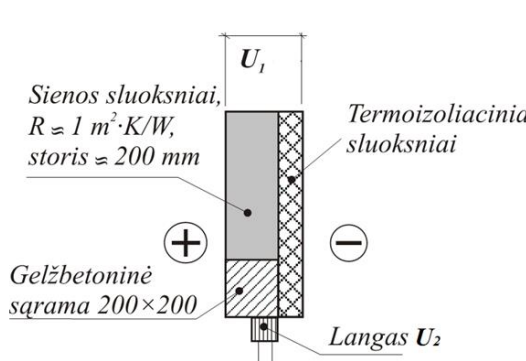
	2.1.2 schema			
	U, W/(m²·K)	U ₂ =0,10	U ₂ =0,25	U ₂ =0,50
U ₁ =0,10	$\Psi = 0,09$	$\Psi = -0,02$	$\Psi = -0,63$	
U ₁ =0,20	$\Psi = 0,06$	$\Psi = -0,01$	$\Psi = -0,57$	
U ₁ =0,50	$\Psi = -0,07$	$\Psi = -0,05$	$\Psi = -0,51$	

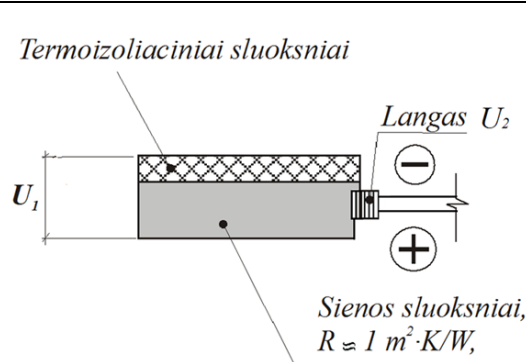
	2.1.3 schema			
	U, W/(m²·K)	U ₂ =0,10	U ₂ =0,25	U ₂ =0,50
U ₁ =0,10	$\Psi = 0,08$	$\Psi = -0,01$	$\Psi = -0,43$	
U ₁ =0,20	$\Psi = 0,04$	$\Psi = -0,01$	$\Psi = -0,39$	
U ₁ =0,50	$\Psi = -0,08$	$\Psi = -0,07$	$\Psi = -0,56$	

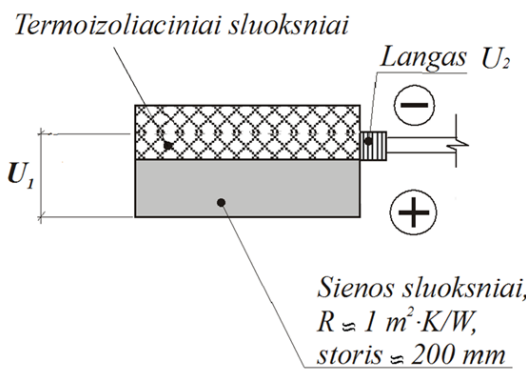
2.2. Ilginių šiluminių tiltelių aplink langų angas sienose šilumos perdavimo koeficientų Ψ_{wdp} ($W/(m \cdot K)$) vertės, kurios taikomos ir tiltelių šilumos perdavimo koeficientų vertėms aplink durų angas sienose Ψ_{dp} ($W/(m \cdot K)$), stoglangių, švieslangių ir kitų skaidrių atitvarų angų perimetru Ψ_s ($W/(m \cdot K)$):

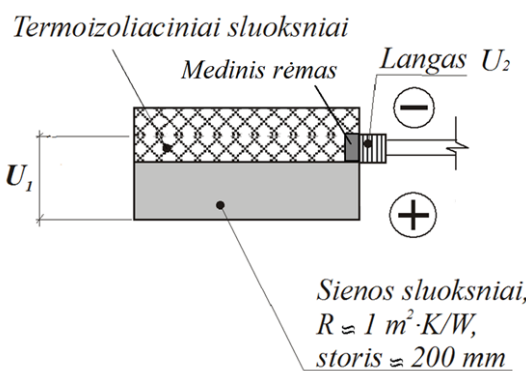
		2.2.1 schema		
		U, $W/(m^2 \cdot K)$	$U_2=0,70$	$U_2=1,0$
$U_1=0,10$	$\Psi=0,07$	$\Psi=0,07$	$\Psi=0,07$	
$U_1=0,20$	$\Psi=0,05$	$\Psi=0,05$	$\Psi=0,06$	
$U_1=0,50$	$\Psi=0,03$	$\Psi=0,04$	$\Psi=0,05$	

		2.2.2 schema		
		U, $W/(m^2 \cdot K)$	$U_2=0,70$	$U_2=1,0$
$U_1=0,10$	$\Psi=0,10$	$\Psi=0,10$	$\Psi=0,10$	
$U_1=0,20$	$\Psi=0,08$	$\Psi=0,08$	$\Psi=0,08$	
$U_1=0,50$	$\Psi=0,10$	$\Psi=0,11$	$\Psi=0,12$	

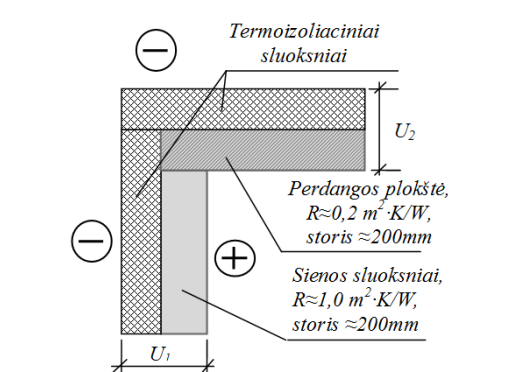
		2.2.3 schema		
		U, $W/(m^2 \cdot K)$	$U_2=0,70$	$U_2=1,0$
$U_1=0,10$	$\Psi=0,14$	$\Psi=0,13$	$\Psi=0,13$	
$U_1=0,20$	$\Psi=0,14$	$\Psi=0,13$	$\Psi=0,12$	
$U_1=0,50$	$\Psi=0,21$	$\Psi=0,21$	$\Psi=0,21$	

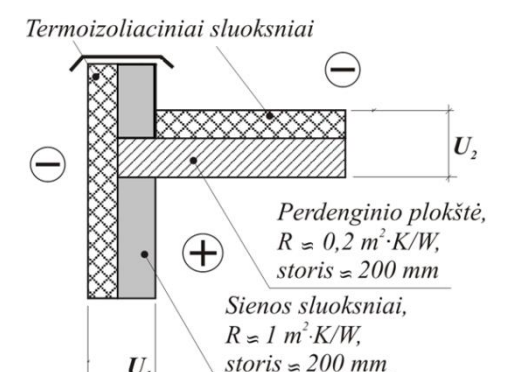
		2.2.4 schema		
		U, $W/(m^2 \cdot K)$	$U_2=0,70$	$U_2=1,0$
$U_1=0,10$	$\Psi=0,18$	$\Psi=0,19$	$\Psi=0,23$	
$U_1=0,20$	$\Psi=0,15$	$\Psi=0,17$	$\Psi=0,21$	
$U_1=0,50$	$\Psi=0,12$	$\Psi=0,15$	$\Psi=0,15$	

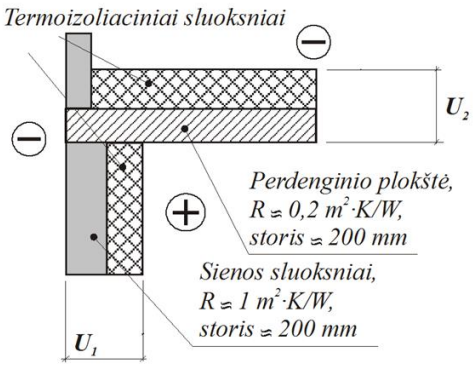
		2.2.5 schema		
		U, W/(m²·K)	U ₂ =0,70	U ₂ =1,0
U ₁ =0,10	Ψ=0,03	Ψ=0,04	Ψ=0,04	
U ₁ =0,20	Ψ=0,02	Ψ=0,02	Ψ=0,03	
U ₁ =0,30	-	Ψ=0,03	Ψ=0,03	

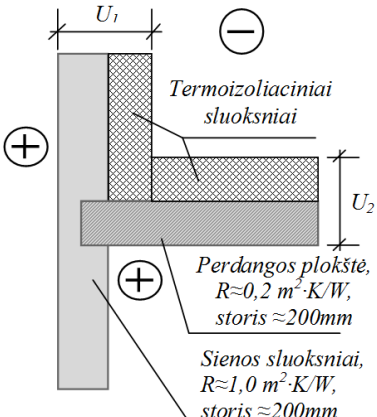
		2.2.6 schema		
		U, W/(m²·K)	U ₂ =0,70	U ₂ =1,0
U ₁ =0,10	Ψ=0,05	Ψ=0,06	Ψ=0,06	
U ₁ =0,20	Ψ=0,04	Ψ=0,05	Ψ=0,05	
U ₁ =0,30	-	Ψ=0,06	Ψ=0,06	

2.3. Ilginių šiluminių tiltelių tarp pastato sienų ir stogo šilumos perdavimo koeficientų Ψ_{w-r} (W/(m·K)) vertės:

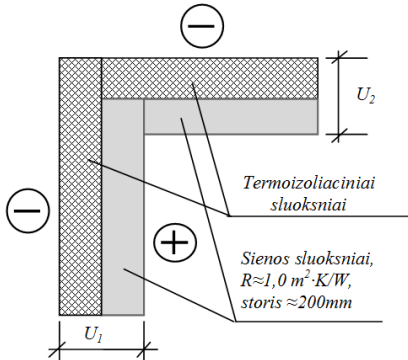
		2.3.1 schema		
		U, W/(m²·K)	U ₂ =0,08	U ₂ =0,16
U ₁ =0,10	Ψ= -0,06	Ψ= -0,06	Ψ= -0,14	
U ₁ =0,20	Ψ= -0,08	Ψ= -0,05	Ψ= -0,08	
U ₁ =0,50	Ψ= -0,14	Ψ= -0,04	Ψ= -0,02	

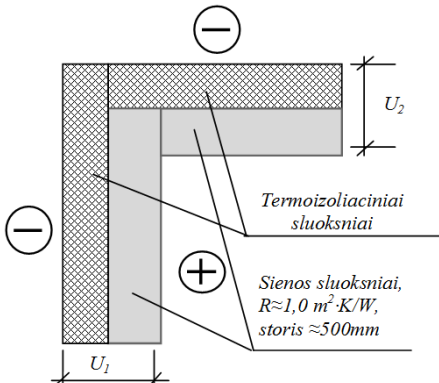
		2.3.2 schema		
		U, W/(m²·K)	U ₂ =0,08	U ₂ =0,16
U ₁ =0,10	Ψ= -0,01	Ψ= 0,00	Ψ= -0,08	
U ₁ =0,20	Ψ= -0,03	Ψ= 0,01	Ψ= 0,00	
U ₁ =0,50	Ψ= -0,09	Ψ= 0,02	Ψ= 0,05	

	2.3.3 schema		
	U, W/(m²·K)	U ₂ =0,08	U ₂ =0,16
U ₁ =0,10	Ψ= 0,18	Ψ= 0,16	Ψ= 0,03
U ₁ =0,20	Ψ= 0,23	Ψ= 0,24	Ψ= 0,16
U ₁ =0,50	Ψ= 0,13	Ψ= 0,23	Ψ= 0,21

	2.3.4 schema		
	U, W/(m²·K)	U ₂ =0,08	U ₂ =0,16
U ₁ =0,10	Ψ= 0,02	Ψ= 0,03	Ψ= 0,05
U ₁ =0,20	Ψ= 0,03	Ψ= 0,03	Ψ= 0,04
U ₁ =0,50	Ψ= 0,07	Ψ= 0,06	Ψ= 0,06

2.4. Ilginių šiluminių tiltelių fasadų išoriniuose ir vidiniuose kampuose šilumos perdavimo koeficientų Ψ_c (W/(m·K)) vertės:

	2.4.1 schema		
	U, W/(m²·K)	U ₂ =0,10	U ₂ =0,20
U ₁ =0,10	Ψ= -0,06	Ψ= -0,08	Ψ= -0,21
U ₁ =0,20	Ψ= -0,08	Ψ= -0,08	Ψ= -0,14
U ₁ =0,50	Ψ= -0,21	Ψ= -0,14	Ψ= -0,15

	2.4.2 schema		
	U, W/(m²·K)	U ₂ =0,10	U ₂ =0,20
U ₁ =0,10	Ψ= -0,07	Ψ= -0,11	Ψ= -0,27
U ₁ =0,20	Ψ= -0,11	Ψ= -0,11	Ψ= -0,23
U ₁ =0,50	Ψ= -0,27	Ψ= -0,23	Ψ= -0,34